

女川原子力発電所第2号機 工事計画審査資料	
資料番号	02-補-E-19-0610-3_改3
提出年月日	2021年10月4日

補足-610-3 使用済燃料プールの耐震性についての計算書に関する
補足説明資料

1. 工事計画添付書類に係る補足説明資料

添付書類「VI-2-4-2-1 使用済燃料プール（キャスクピットを含む）（第1, 2号機共用）の耐震性についての計算書」の記載内容を補足するための資料を以下に示す。

別紙1 応力解析における既工認と今回工認の解析モデル及び手法の比較

別紙2 応力解析におけるモデル化、境界条件及び拘束条件の考え方

別紙3 地震荷重の入力方法

別紙4 応力解析における断面の評価部位の選定

別紙5 **使用済燃料プールの応力解析における応力平均化の考え方**

別紙6 剛性低下を考慮した影響検討

別紙7 鋼製ライナの検討

別紙8 使用済燃料貯蔵ラックの地震時反力の検討

別紙8-1 ラック反力に対する使用済燃料プールの応力解析における応力平均化の考え方

□ 本日の説明範囲

別紙 5 使用済燃料プールの応力解析における応力平均化の考え方

目 次

1. 概要	別紙 5- 1
2. 応力平均化の考え方	別紙 5- 2
2.1 応力平均化を実施した領域における断面の評価要素	別紙 5- 2
2.2 応力平均化の方法	別紙 5- 4
2.3 応力平均化の結果	別紙 5- 9
2.4 断面の評価結果	別紙 5-10

1. 概要

3次元FEMモデルを用いた応力の算定において、FEM要素に応力集中等が見られる場合については、「日本建築学会 2005年 原子力施設鉄筋コンクリート構造計算規準・同解説（以下「RC-N 規準」という。）」に基づき、応力の再配分等を考慮してある一定の領域の応力を平均化したうえで断面の評価を行っている。この場合、当該要素における応力度ではなく、周囲の複数の要素で平均化した応力度に対して断面の評価を実施していることから、本資料では、使用済燃料プール及びキャスクピット（以下「SFP」という。）における複数の要素での応力平均化の考え方及びその結果を示す。

2. 応力平均化の考え方

2.1 応力平均化を実施した領域における断面の評価要素

断面の評価要素は、応力平均化を行うことによって応力が変わることから、応力平均化前の断面力に対する検定値を元に選定している。

SFP の底面スラブでは、応力平均化前の応力分布において、局所的に大きな面外せん断力が発生している要素を断面の評価要素とし、応力平均化を行い、応力平均化後の値に対する断面の評価を実施した。

応力平均化を実施した要素を表 2-1、要素位置図を図 2-1 に示す。

表 2-1 応力平均化要素

部位	評価項目		方向	要素番号	組合せ ケース	平均化前の検定値 (発生値／許容値)
底面 スラブ	面外 せん断力	面外 せん断 応力度	EW	338	2-11 (S s 地震時)	1.51

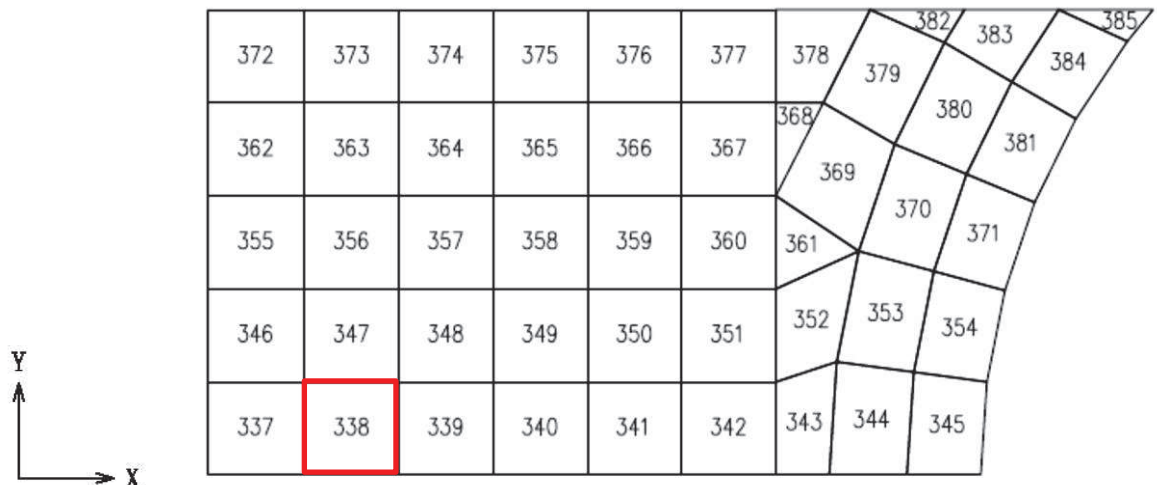


図 2-1 要素位置図

2.2 応力平均化の方法

3 次元 FEM モデルを用いた応力解析においては、部材断面やモデル形状が大きく変化して不連続になっている箇所は、局部的な応力集中が発生しやすい。

図 2-2 に SFP の 3 次元 FEM モデルを示す。図 2-2 に示すように、当該部は西側壁との接続部分であり、応力が集中しやすい。図 2-3 に示す面外せん断力のコンター図を見ると、当該要素周辺では大きな面外せん断力が発生していることが分かる。

そこで、今回の SFP の応力解析においては、RC-N 規準を参考に、コンクリートのひび割れによる応力の再配分を考慮し、応力の平均化を行った。
なお、SFP の底面スラブ全体でも鉄筋ひずみの最大値は、 0.964×10^{-3} であり、鉄筋降伏時のひずみ 1.68×10^{-3} を下回っていること、応力平均化範囲及びその周辺領域では全面的な曲げ降伏状態には至っていないことを確認している。

RC-N 規準においては、「線材では、部材端に生じる斜めせん断ひび割れによって部材有効せい程度離れた断面の引張鉄筋の応力度が部材端と同じ大きさまで増大する現象（テンションシフト）が生じるが、面材では、斜めひび割れが発生した場合においても、材軸直交方向への応力再配分によって、線材におけるテンションシフトのような現象は生じにくいと考えられる。」とされており、耐震壁の面外せん断力について、「面材であるため、局部的に応力の集中があったとしても、応力の再配分を生じ、破壊に至ることはない。」とされている。また、基礎スラブのような大断面を有する面材の面外せん断力について、「通常の場合、FEM 解析の要素サイズは、基礎スラブ版厚より小さいため、RC-N 規準の付図 2.2 に模式的に示されるように設計用面外せん断力は想定されるひび割れ領域での平均面外せん断力に対して大きめの評価となっているといえる。また、基礎スラブにおいても、耐震壁と同様、面材における面外せん断力の再配分も期待できる。」とされている。RC-N 規準の付図 2.2 を図 2-4 に示す。

壁、床スラブ、基礎スラブのような面材については、RC-N 規準に示されるように、面材に荷重を作用させる直交部材からせん断破壊面が 45 度の角度で進展すると考えられることから、せん断破壊面が面材の表面から裏面まで貫通する範囲、すなわち部材厚の範囲に応力が再配分されると考えられる。SFP の底面スラブにおける面外せん断力に対する応力平均化の考え方を図 2-5 に示す。

以上より、応力の平均化は、当該要素の壁から離れる側の応力方向に位置する隣接要素に対して、壁面から底面スラブの部材厚である 2.1m 分の範囲で行った。該当要素について応力平均化範囲を図 2-6 に示す。

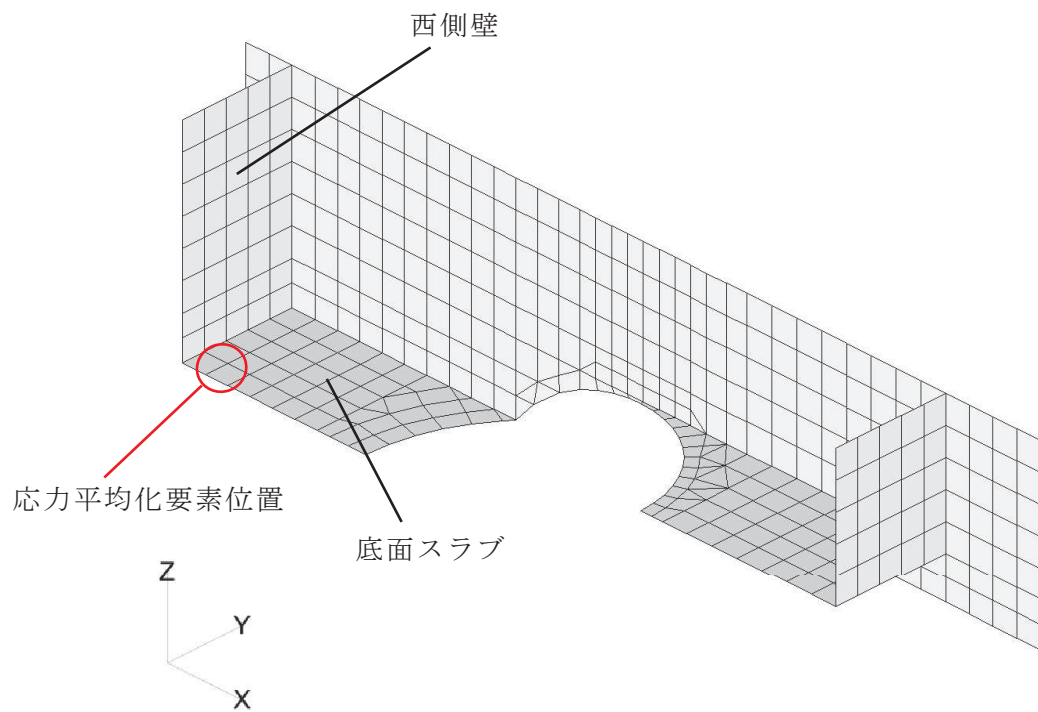
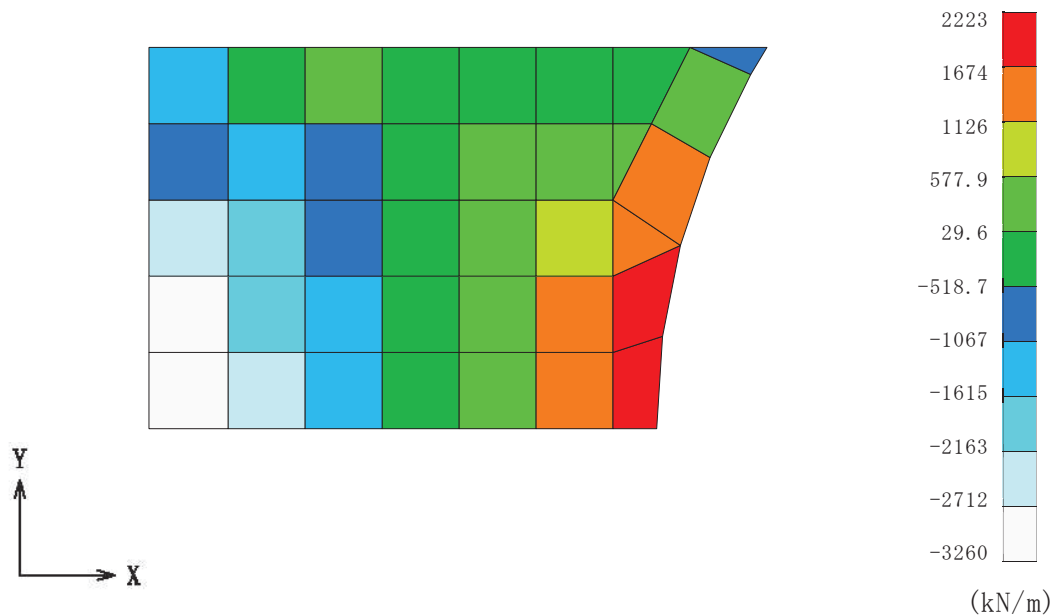


図 2-2 SFP の 3 次元 FEM モデル



組合せケース 2-11 (EW 方向)

図 2-3 面外せん断力のコンター図

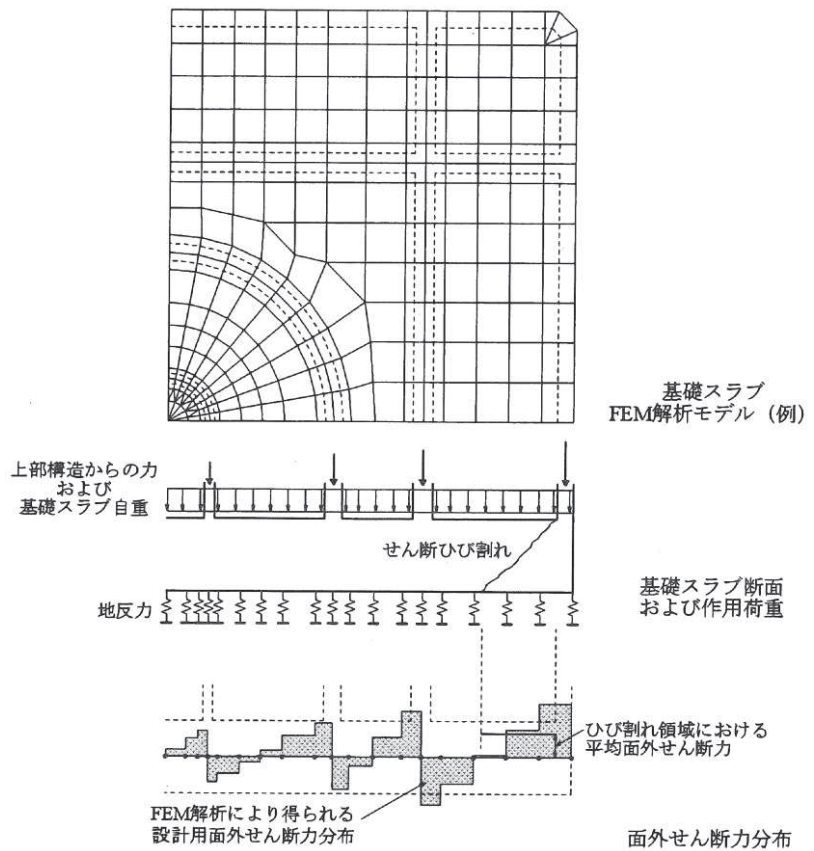


図 2-4 RC-N 規準の付図 2.2

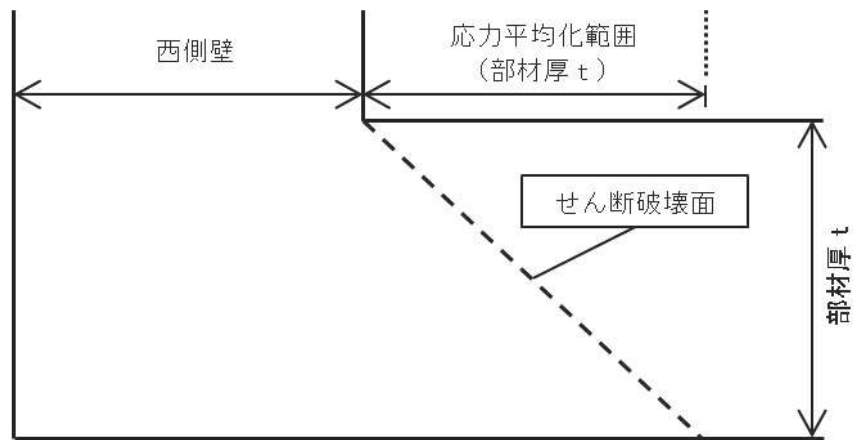


図 2-5 SFP の底面スラブにおける面外せん断力に対する応力平均化の考え方

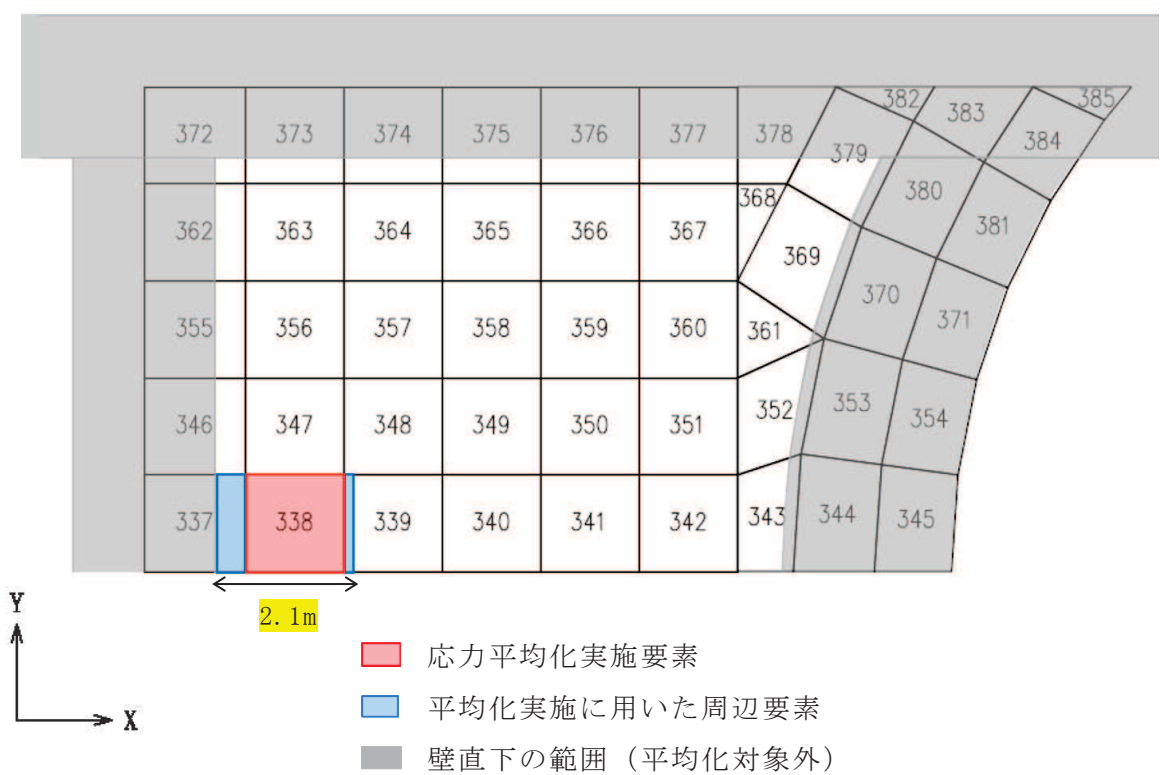


図 2-6 応力平均化範囲

2.3 応力平均化の結果

応力平均化の手法として、下式のとおり、要素面積を考慮した重み付け平均で平均化を行っている。応力平均化に用いる各要素の発生値、面積及び重み付け値を表2-2に示す。また、応力平均化の結果を表2-3に示す。

$$\tau_{ave} = \frac{\sum (\tau_i \times A_i)}{\sum A_i}$$

ここで、

τ_{ave} : 平均化後の面外せん断応力度

τ_i : 平均化前の各要素の面外せん断応力度（発生値）

A_i : 応力平均化範囲における各要素の面積

表2-2 応力平均化に用いる各要素の発生値、面積及び重み付け値

応力平均化 対象要素	方向	組合せ ケース	要素番号	発生値 τ_i (N/mm ²)	要素面積 A_i (m ²)	重み付け値 $\tau_i \times A_i$ (×10 ⁶ N)
338	EW	2-11	337	2.47	0.65	1.60
			338	1.82	2.08	3.79
			339	0.99	0.27	0.27
				合計	3.00	5.66

表2-3 応力平均化結果

応力平均化 対象要素	方向	組合せ ケース	要素番号	面外せん断応力度 (N/mm ²)	
				平均化前	平均化後
338	EW	2-11	337	2.47	1.89
			338	1.82	
			339	0.99	

2.4 断面の評価結果

2.4.1 断面の評価方法

S s 地震時の面外せん断応力度について、発生値が許容値を超えないことを確認する。許容値は、「J S M E S N E 1-2003 発電用原子力設備規格 コンクリート製原子炉格納容器規格」に基づき算出する。

2.4.2 断面の評価結果

応力平均化後の評価結果を表 2-4 に示す。表 2-4 より、応力平均化後の面外せん断応力度の発生値が許容値を超えないことを確認した。

表 2-4 応力平均化後の評価結果

要素番号	方向	組合せ ケース	面外せん断応力度 (N/mm ²)		平均化後の検定値 (発生値／許容値)
			発生値	許容値	
338	EW	2-11	1.89	2.59*	0.730

注記*：応力平均化範囲に存在する面外せん断補強筋を考慮して許容値を算定

別紙 8-1 ラック反力に対する使用済燃料プールの応力解析における
応力平均化の考え方

目 次

1. 概要	別紙 8-1- 1
2. 応力平均化の考え方	別紙 8-1- 2
2.1 応力平均化を実施した領域における断面の評価要素	別紙 8-1- 2
2.2 応力平均化の方法	別紙 8-1- 4
2.3 応力平均化の結果	別紙 8-1- 9
2.4 断面の評価結果	別紙 8-1-10

1. 概要

本資料は、「補足-610-3 使用済燃料プールの耐震性についての計算書に関する補足説明資料」のうち「別紙 8 使用済燃料貯蔵ラックの地震時反力の検討」に基づく解析ケースを対象として、使用済燃料プール及びキャスクピット（以下「SFP」という。）における応力平均化の考え方について示すものである。

3次元 FEM モデルを用いた応力の算定において、FEM 要素に応力集中等が見られる場合については、「日本建築学会 2005 年 原子力施設鉄筋コンクリート構造計算規準・同解説」（以下「RC-N 規準」という。）に基づき、応力の再配分等を考慮してある一定の領域の応力を平均化したうえで断面の評価を行っている。この場合、当該要素における応力度ではなく、周囲の複数の要素で平均化した応力度に対して断面の評価を実施していることから、本資料では、SFP における複数の要素での応力平均化の考え方及びその結果を示す。

2. 応力平均化の考え方

2.1 応力平均化を実施した領域における断面の評価要素

断面の評価要素は、応力平均化を行うことによって応力が変わることから、応力平均化前の断面力に対する検定値を元に選定している。

SFP の底面スラブでは、応力平均化前の応力分布において、局的に大きな面外せん断力が発生している要素を断面の評価要素とし、応力平均化を行い、応力平均化後の値に対する断面の評価を実施した。

応力平均化を実施した要素を表 2-1、要素位置図を図 2-1 に示す。

表 2-1 応力平均化要素

部位	評価項目		方向	要素番号	組合せ ケース	平均化前の検定値 (発生値／許容値)
底面 スラブ	面外 せん断力	面外 せん断 応力度	EW	338	2-11 (S s 地震時)	1.46

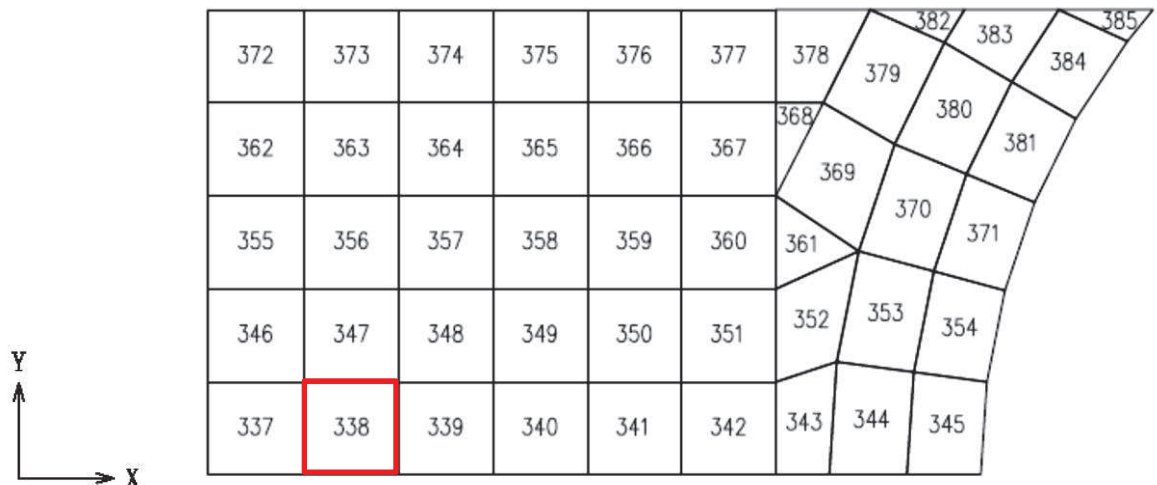


図 2-1 要素位置図

2.2 応力平均化の方法

3 次元 FEM モデルを用いた応力解析においては、部材断面やモデル形状が大きく変化して不連続になっている箇所は、局部的な応力集中が発生しやすい。

図 2-2 に SFP の 3 次元 FEM モデルを示す。図 2-2 に示すように、当該部は西側壁との接続部分であり、応力が集中しやすい。図 2-3 に示す面外せん断力のコンター図を見ると、当該要素周辺では大きな面外せん断力が発生していることが分かる。

そこで、今回の SFP の応力解析においては、RC-N 規準を参考に、コンクリートのひび割れによる応力の再配分を考慮し、応力の平均化を行った。なお、SFP の底面スラブ全体でも鉄筋ひずみの最大値は、 0.964×10^{-3} であり、鉄筋降伏時のひずみ 1.68×10^{-3} を下回っていること、応力平均化範囲及びその周辺領域では全面的な曲げ降伏状態には至っていないことを確認している。

RC-N 規準においては、「線材では、部材端に生じる斜めせん断ひび割れによって部材有効せい程度離れた断面の引張鉄筋の応力度が部材端と同じ大きさまで増大する現象（テンションシフト）が生じるが、面材では、斜めひび割れが発生した場合においても、材軸直交方向への応力再配分によって、線材におけるテンションシフトのような現象は生じにくいと考えられる。」とされており、耐震壁の面外せん断力について、「面材であるため、局部的に応力の集中があったとしても、応力の再配分を生じ、破壊に至ることはない。」とされている。また、基礎スラブのような大断面を有する面材の面外せん断力について、「通常の場合、FEM 解析の要素サイズは、基礎スラブ版厚より小さいため、RC-N 規準の付図 2.2 に模式的に示されるように設計用面外せん断力は想定されるひび割れ領域での平均面外せん断力に対して大きめの評価となっているといえる。また、基礎スラブにおいても、耐震壁と同様、面材における面外せん断力の再配分も期待できる。」とされている。RC-N 規準の付図 2.2 を図 2-4 に示す。

壁、床スラブ、基礎スラブのような面材については、RC-N 規準に示されるように、面材に荷重を作用させる直交部材からせん断破壊面が 45 度の角度で進展すると考えられることから、せん断破壊面が面材の表面から裏面まで貫通する範囲、すなわち部材厚の範囲に応力が再配分されると考えられる。SFP の底面スラブにおける面外せん断力に対する応力平均化の考え方を図 2-5 に示す。

以上より、応力の平均化は、当該要素の壁から離れる側の応力方向に位置する隣接要素に対して、壁面から底面スラブの部材厚である 2.1m 分の範囲で行った。該当要素について応力平均化範囲を図 2-6 に示す。

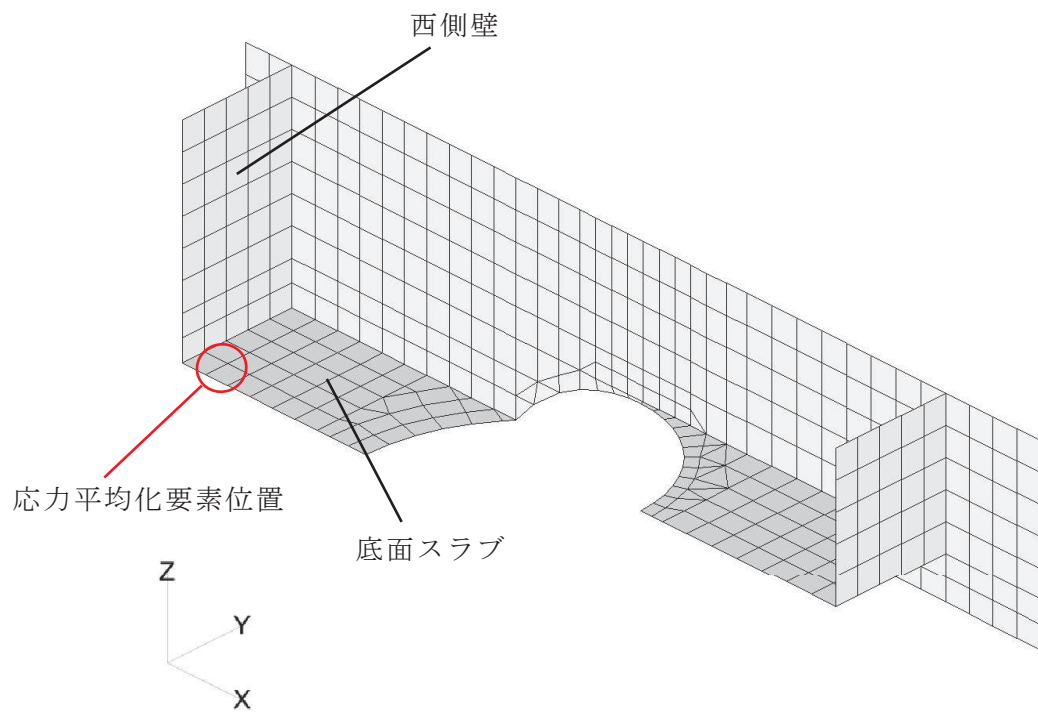
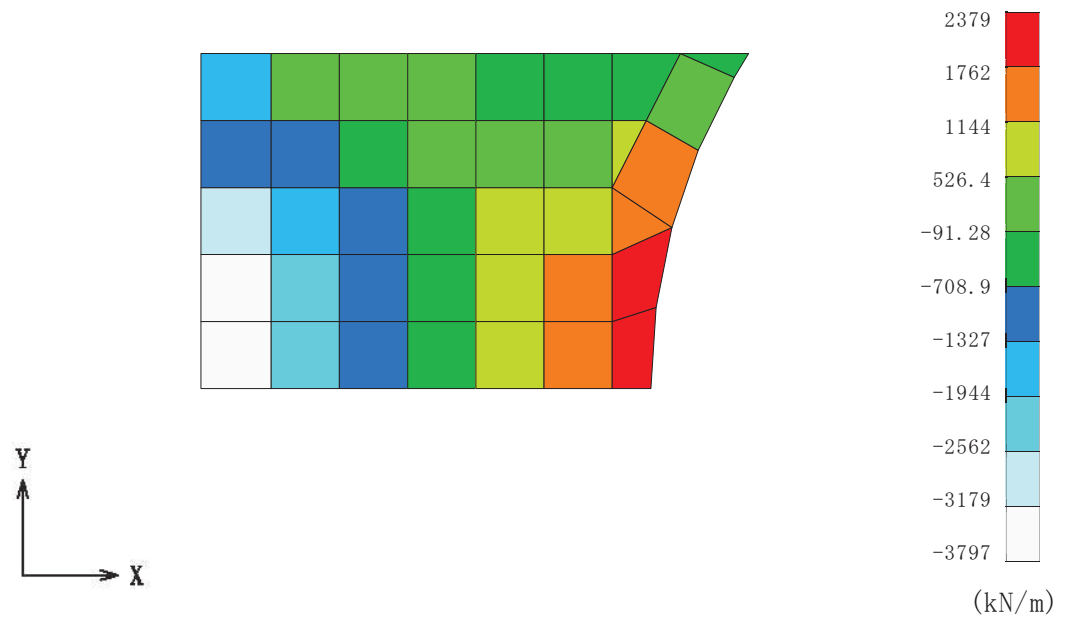


図 2-2 SFP の 3 次元 FEM モデル



組合せケース 2-11 (EW 方向)

図 2-3 面外せん断力のコンター図

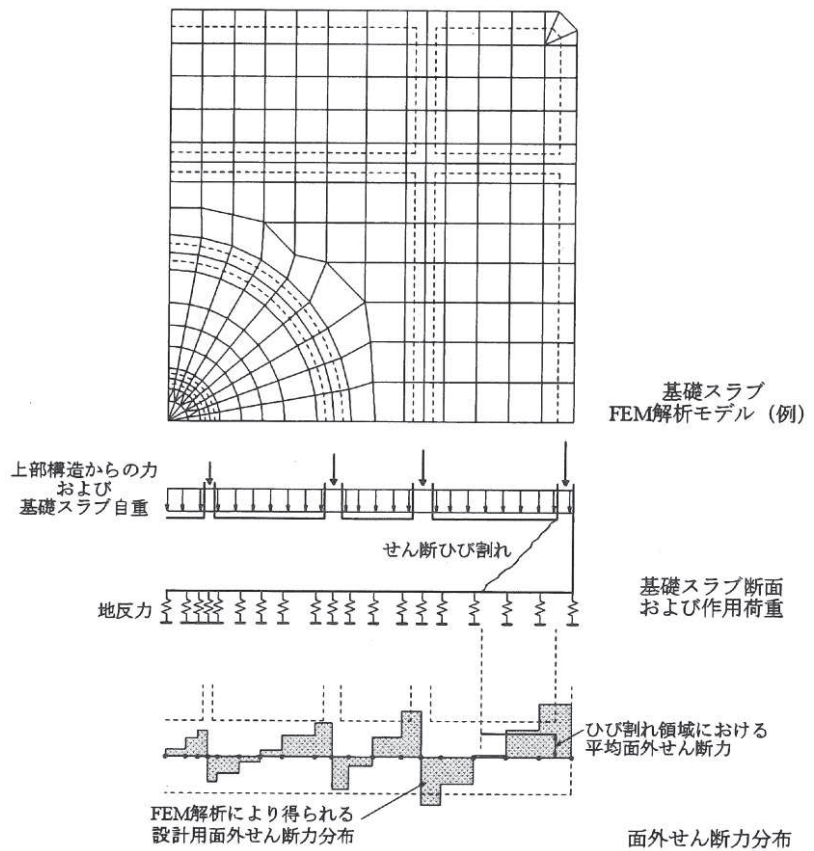


図 2-4 RC-N 規準の付図 2.2

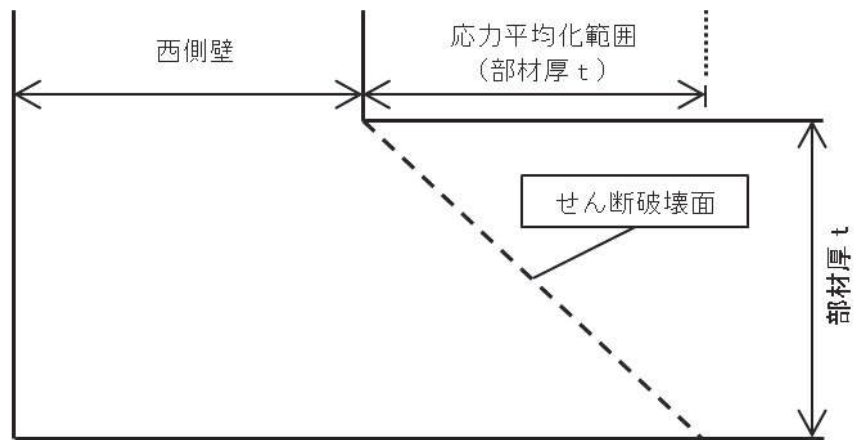


図 2-5 SFP の底面スラブにおける面外せん断力に対する応力平均化の考え方

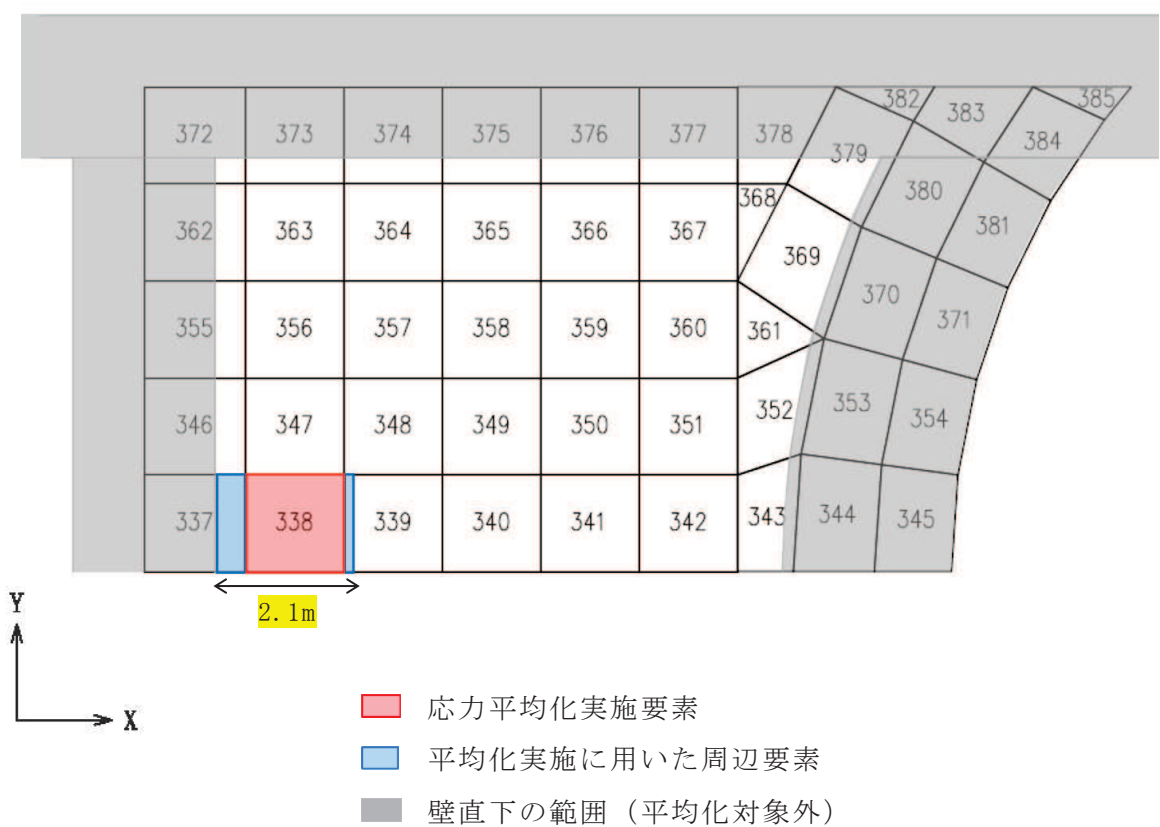


図 2-6 応力平均化範囲

2.3 応力平均化の結果

応力平均化の手法として、下式のとおり、要素面積を考慮した重み付け平均で平均化を行っている。応力平均化に用いる各要素の発生値、面積及び重み付け値を表2-2に示す。また、応力平均化の結果を表2-3に示す。

$$\tau_{ave} = \frac{\sum (\tau_i \times A_i)}{\sum A_i}$$

ここで、

τ_{ave} : 平均化後の面外せん断応力度

τ_i : 平均化前の各要素の面外せん断応力度（発生値）

A_i : 応力平均化範囲における各要素の面積

表2-2 応力平均化に用いる各要素の発生値、面積及び重み付け値

応力平均化 対象要素	方向	組合せ ケース	要素番号	発生値 τ_i (N/mm ²)	要素面積 A_i (m ²)	重み付け値 $\tau_i \times A_i$ (×10 ⁶ N)
338	EW	2-11	337	2.94	0.65	1.90
			338	1.76	2.08	3.67
			339	0.90	0.27	0.25
				合計	3.00	5.81

表2-3 応力平均化結果

応力平均化 対象要素	方向	組合せ ケース	要素番号	面外せん断応力度 (N/mm ²)	
				平均化前	平均化後
338	EW	2-11	337	2.94	1.94
			338	1.76	
			339	0.90	

2.4 断面の評価結果

2.4.1 断面の評価方法

S s 地震時の面外せん断応力度について、発生値が許容値を超えないことを確認する。許容値は、「J S M E S N E 1-2003 発電用原子力設備規格 コンクリート製原子炉格納容器規格」に基づき算出する。

2.4.2 断面の評価結果

応力平均化後の評価結果を表 2-4 に示す。表 2-4 より、応力平均化後の面外せん断応力度の発生値が許容値を超えないことを確認した。

表 2-4 応力平均化後の評価結果

要素番号	方向	組合せ ケース	面外せん断応力度 (N/mm ²)		平均化後の検定値 (発生値／許容値)
			発生値	許容値	
338	EW	2-11	1.94	2.59*	0.750

注記*：応力平均化範囲に存在する面外せん断補強筋を考慮して許容値を算定